

us to fig. c there should be  
 urgent enough to express the  
 e of representing the process  
 r explained at p. 918, will

ree has thus been magnified  
 nisms which compose it, we  
 hological and physiological  
 ts and involves (*i.e.*, those  
 y) becomes raised from the  
 empirical observations and  
 erved rationale or *law*, by  
 oric survey of the preceding  
 urgent, and profitable) of  
 al in biology.

enomena of heredity and  
 nuous series of expressions  
 and thus the marvellous  
 ted ones, but, in animal or  
 literal blossoming, of the

naturally closes, since its  
 of human life cannot be  
 t a new and vaster deduc-  
 t be indicated. For if the  
 explained, so also may the  
 y origin, of its branches;  
 n we know as sexual, leads  
 al; it enables us to look  
 ætiology in deeper terms  
 , as illustrations of a con-  
 change.\*

stance of the association  
 and the non-occurrence of  
 recent observations of  
 ing volume of *Ency. Brit.*

Jaworowski on "Chironomus" (*Archives Slaves de Biologie*, 1886).  
 He finds that by rupture of the ovarian membrane the ova fall into  
 the body-cavity, and there develop rapidly to form larvæ without  
 fertilisation. "The great abundance of nutritive material replaces  
 the effect of fertilisation."

2. My attention has recently been called by Mr H. B. Brady to  
 the phenomenon of "Dimorphism" exhibited by certain Fora-  
 minifera, and which has been hypothetically interpreted as possibly  
 of sexual nature by De la Harpe. An inspection of De la Harpe's  
 figures seems to me to render it clear that this explanation is just  
 (the objection of Munier-Chalmas that sex is unknown in Protozoa  
 notwithstanding). The form named *Nummulites Lamarckii*, as  
 better grown and less modified, with fewer partitions, and a *grand*  
*loge central*, seems to me distinctly the anabolic or female; the  
 other, *N. lævigata*, since smaller and more modified, the male.

3. I have finally to record my obligations for much help, both in  
 the discussion and preparation of the present paper, to my friend  
 Mr J. Arthur Thomson.

PRIVATE BUSINESS.

Mr Robert Kidston, F.G.S., and the Rev. H. G. Bonavia Hunt,  
 Mus.B., &c., were balloted for, and declared duly elected Fellows  
 of the Society.

Monday, 19th July 1886.

ROBERT GRAY, Esq., Vice-President, in the Chair.

The following Communications were read:—

1. On the Colours of Thin Plates. By the Right Hon.  
 Lord Rayleigh.

2. Ueber algebraische Knoten. Von Dr Franz Meyer  
 a. o. Professor in Tübingen. (Plates XXXI, XXXII.)

Die ersten Untersuchungen von Herrn Tait über "Knoten,"  
 zusammengefasst in der grösseren Arbeit,\* *Phil. Trans. of Edin-*

\* Auf diese beziehen sich die im Texte gemachten Verweisungen.

burgh, 1877, veranlassten mich, im Jahre darauf, auch *algebraische* Curven vom *topologischen*\* Gesichtspunct aus zu studiren und zu classificiren (Münchener Dissertation, in Commission bei Mayer und Müller in Berlin).

Zunächst boten sich die rationalen ebenen Curven dar, und unter ihnen wiederum diejenigen vierter und fünfter Ordnung, welche lauter *reelle* Doppelpuncte mit reellen Zweigen besitzen. Nicht bloss die von H. Tait aufgestellten Eintheilungsprincipien der Knoten, sondern auch seine Schemata waren dabei für mich von Nutzen.

Seitdem sind die topologischen Untersuchungen von Herrn Tait (*loc. cit.*, 1884, 1886), Kirkman (*loc. cit.*, 1884, 1886), und Little (*Trans. of the Connecticut Academy*, 1885) fortgesetzt, indem ebene Knoten mit 8, 9, 10 crossings hereingezogen wurden. Von anderer Seite her haben namentlich Simony (*Mathem. Annalen*, von Klein u. Mayer, xix., sowie eine fortlaufende Reihe von Publicationen in den Wiener Sitzungsberichten) und Koller (*Wiener Berichte*, 1885) neue topologische Gesichtspuncte entwickelt. Auch die Arbeit von Weith (Züricher Dissertation, 1876) brachte einige neue Bemerkungen. Endlich hat Brill (*Mathem. Annalen*, von Klein u. Mayer, xyiii.) einen topologisch-algebraischen Beitrag zur Verschlingung von Raumcurven geliefert.

Wenn diese Arbeiten auch keinen directen Bezug auf meine damalige Studie hatten, so zeigen sie doch, wie das Interesse für dieses Gebiet der Anschauungs-Mathematik seitdem gewachsen ist. Sie boten daher die Veranlassung, meine damals mehr auf *empirischem* Wege gefundenen Resultate einer sorgfältigen Neubearbeitung zu unterziehen. Diese lieferte einmal einige Berichtigungen und nicht unwesentliche *Ergänzungen* (über welche weiter unten), vor Allem aber eine *strengere, algebraische Begründung*.

Im Folgenden erlaube ich mir, einen kurzen Auszug meiner Untersuchungen vorzulegen. Um aber die ursprüngliche topologische Natur derselben nicht zu sehr zu verwischen, habe ich mich in den *algebraischen* Zugaben auf das Nothwendigste beschränkt.

In §1 findet man eine gedrängte Zusammenstellung der *topologischen* Sätze und Methoden, die bei Behandlung *algebraischer* Knoten zu Grunde zu legen sind. Es folgt sofort die Anwendung auf die

\* Dieser Name ist der grundlegenden Arbeit von Listing (Göttinger Studien, 1847) entnommen.

rationalen Curven v  
diesen Theil bezieh  
Figurentafeln, welch  
15 Figuren gehören

Diese Betrachtung  
*algebraische* Darstel  
wonen.

Der zweite Abschl  
Erbringung der Be  
Typen. Dies gesch  
*formationen* (§ 5).

die *gezeichneten* Cur  
ung eines einfachen  
von *zerfallenden* rat  
Weise gelangt. D  
Fall der Curven vie  
*ratische Transform*  
durchsichtigerer Ar

Die Combination  
zu den Resultaten d

Zum Schluss wei  
welche den inneren  
Curven *fünfter* Or  
*existiren können*.

I. Ar

§ 1. I

Wir recapitulire  
von H. Tait im J  
entwickelten Begrif  
tragung auf *algebra*

Es liege ein eb  
mehrmals *durch's* U  
A, B, C. . . . Di  
gewissen *Folge* pass

die das "*Stellensche*

\* Ausführlich

larauf, auch *algebraische*  
aus zu studiren und zu  
nmission bei Mayer und

Curven dar, und unter  
fünfter Ordnung, welche  
n besitzen. Nicht bloss  
principien der Knoten,  
r mich von Nutzen.

ungen von Herrn Tait  
(1884, 1886), und Little  
ortgesetzt, indem ebene  
wurden. Von anderer  
m. *Annalen*, von Klein  
ihe von Publicationen  
ller (*Wiener Berichte*,  
ntwickelt. Auch die  
76) brachte einige neue  
*Annalen*, von Klein u.  
en Beitrag zur Ver-

ten Bezug auf meine  
wie das Interesse für  
seitdem gewachsen ist.  
mals mehr auf *empir-*  
sorgfältigen Neubear-  
l einige Berichtigungen  
welche weiter unten),  
gründung.

urzen Auszug meiner  
ursprüngliche topolo-  
ischen, habe ich mich  
ndigste beschränkt.  
nenstellung der *topolo-*  
g *algebraischer* Knoten  
Anwendung auf die  
sting (Göttinger Studien,

rationalen Curven vierter (§ 2) und fünfter Ordnung (§ 3). Auf diesen Theil beziehen sich die drei Schemata-Tabellen, wie die Figurentafeln, welche am Schlusse angehängt sind: nur die letzten 15 Figuren gehören zu § 4.

Diese Betrachtungen werden in § 4 *umgekehrt*, und so eine neue *algebraische* Darstellung der einfachsten Tait, sehen Knoten gewonnen.

Der zweite Abschnitt bringt die *algebraischen* Hilfsmittel behufs Erbringung der Beweise für die *Existenz* der vorher aufgestellten Typen. Dies geschieht einmal mit Hülfe von *quadratischen Transformationen* (§ 5). Zweitens aber—und dies ist der Weg, auf dem die *gezeichneten* Curventypen erhalten worden sind—unter Anwendung eines einfachen *Deformationsprocesses*, welcher lehrt, wie man von *zerfallenden* rationalen Curven zu *eigentlichen* in continuirlicher Weise gelangt. Diese Deformationen lassen sich, gerade für den Fall der Curven vierter und fünfter Ordnung, wiederum auf *quadratische Transformationen* (§ 6) stützen, in allgemeinerer und durchsichtigerer Art jedoch auf ein *Projectionsverfahren* (§ 7).

Die Combination beider Methoden liefert in § 8 eine dritte, welche zu den Resultaten des § 4 führt.

Zum Schluss werden gewisse *algebraische Relationen* entwickelt, welche den inneren Grund dafür enthalten, dass bei den rationalen Curven *fünfter* Ordnung eine ziemliche Anzahl von Typen *nicht existiren können*.

#### I. ALGEBRAISCH-TOPOLOGISCHE KNOTEN.

##### § 1. Die Schemata algebraischer Knoten.

Wir recapituliren in Kürze\* die Modificationen, welche die von H. Tait im Jahre 1877 über ebene "topologische" Knoten entwickelten Begriffe und Sätze zu erfahren haben, wenn ihre Uebertragung auf *algebraische* Curven stattfinden soll.

Es liege ein ebener, geschlossener Curvenzug C vor, der auch mehrmals *durch's Unendliche* laufen darf, mit den Knotenpunkten A, B, C. . . . Diese werden beim Durchlaufen von C in einer gewissen *Folge* passirt, etwa:—

ACBACBD . . .

die das "*Stellenschema*" von C heissen soll.

\* Ausführlicheres findet man in meiner Dissertation von 1878.

Dabei sollen auch "Schleifen" von der Form AA (die auch durch's Unendliche gehen können), und überhaupt die von H. Tait so genannten "nugatory crossings," wie BDFEDFEB\* gestattet sein.

Ist C ganz im Endlichen befindlich, so sind nach H. Tait je zwei gleiche Buchstaben, wie A, A durch eine gerade Anzahl anderer getrennt. Dann ist es erlaubt, die Bezeichnung so zu wählen, dass an erster Stelle des Schema's A steht, an dritter B, an fünfter C, etc. und man kann das Schema auf das der geraden Stellen, "reduciren."

So ist das Schema ACBACB des "trefoil Knot" (*loc. cit.*, pg. 153) reducibel auf CAB.

Es gilt nun der Satz: "Läuft die Curve C eine ungerade Anzahl von Malen durch's Unendliche, so ist ihr Stellenschema ein reducibles."

Man unterwerfe nemlich die Curve C einer Inversion (*i. e.*, Transformation durch reciproke Radien), deren Mittelpunkt O nicht auf der Curve liege. Dadurch geht die Curve C, die  $(2l+1)$ -mal durch's Unendliche gehen möge, über in eine Curve C mit  $(2l+1)$  fachem Punct in O, die aber, von letzterem abgesehen, dieselbe Folge der Knotenpunkte aufweist, wie C. Variirt man jetzt die Curve so, dass sich der  $(2l+1)$ -fache Punct O zerspaltet in  $(2l+1) \frac{2l}{2}$  einfache Knotenpunkte, so trägt jeder von den durch O gehenden Zweigen nach der Variation eine gerade Anzahl (nemlich  $2l$ ) von Knotenpunkten. Streicht man daher im Stellenschema der endlichen (variirten) Curve C' diejenigen Buchstaben, welche den aus O hervorgegangenen Knotenpunkten zugehören, so bleibt es ein reducibles (*q. e. d.*).

Läuft dagegen die Curve C eine gerade Anzahl,  $2m$ , von Malen durch's Unendliche, so kann man ihr Stellenschema im Allgemeinen erst dadurch zu einem reduciblen machen, dass man es ersetzt durch das der variirten Curve C'.

Für  $m=1$  tritt auf diese Weise nur ein weiterer Knotenpunct in das ursprüngliche Schema ein (Dieser Fall tritt in § 2 ein).

Wir wenden das Gesagte auf diejenigen algebraischen Curven an, die den geschlossenen topologischen am nächsten stehen, nemlich auf die (aus einem reellen Zuge bestehenden) rationalen, ebenen

\* D. h., wo zwischen zwei gleichen Buchstaben, wie B, B, jeder andere Buchstabe zweimal auftritt.

Curven n<sup>ter</sup> Ordnung "R<sub>n</sub>" n mit reellen, getrennten Tacten A, B, C, . . . Jedem einfach nur ein reeller Zahlwerth  $\lambda$ ,\* sentirt: jedem Doppelpuncte, man diese in das Stellenschema gewisse Folge von reellen Zahl

Wir sagen, die Curve R<sub>n</sub> b wenn a die Minimalzahl von im Schnitte mit einer Geraden

Dann kann man sie nemlich mit gleichem Stellenschema p Unendliche geht.

Ist a ungerade, so ist das p ist aber a gerade, so substituirt nach obiger Methode invertirt

In beiden Fällen setzen wir voraus. Treten K Knotenpunkte dasselbe in 4 K Formen (ver sein können) gebracht werden jedem Doppelpuncte beigelegt in vier verschiedenen Richtungen diese 4 K Formen nur auesser wir fest:

"Zwei R<sub>n</sub> sollen zu demselben reducirten Schemata demselben hören."

Die Untersuchungen von wiegende Mehrzahl von Se Knoten realisirt werden können hier ist aber der Grund dieser

Denn zwischen den  $\frac{(n-1)(n-2)}{2}$

\* Ein solches "Argument"  $\lambda$  k<sub>l</sub> endlichen (oder auch unendlichen) l die Länge der Curve, s der v gemessene Bogen, so spielt jede e (mit der Periode l) genau die Rolle man zuvor in einen endlichen.

n der Form AA (die auch  
d überhaupt die von H. Tait  
BDFEDFEB\* gestattet sein.  
so sind nach H. Tait je zwei  
eine gerade Anzahl anderer  
zeichnung so zu wählen, dass  
in dritter B, an fünfter C, etc.  
der geraden Stellen, "redu-  
trefoil Knot" (*loc. cit.*, pg.

urve C eine ungerade Anzahl  
Stellenschema ein reducibles."

einer Inversion (*i.e.*, Trans-  
en Mittelpunkt O nicht auf  
Curve C, die  $(2l+1)$ -mal  
eine Curve C mit  $(2l+1)$   
zterem abgesehen, dieselbe  
C. Variirt man jetzt die  
e Punct O zerspaltet in

ragt jeder von den durch O  
ne gerade Anzahl (nemlich  
an daher im Stellenschema  
enigen Buchstaben, welche  
ncten zugehören, so bleibt

de Anzahl,  $2m$ , von Malen  
llenschema im Allgemeinen  
a, dass man es ersetzt durch

ein weiterer Knotenpunct  
Fall tritt in § 2 ein).

n algebraischen Curven an,  
nächsten stehen, nemlich  
enden) rationalen, ebenen  
aben, wie B, B, jeder andere

Curven  $n^{\text{ter}}$  Ordnung " $R_n$ " mit *lauter* reellen, eigentlichen (d. i. mit reellen, getrennten Tangenten versehenen) Doppelpuncten A, B, C, . . . Jedem einfachen Punct von  $R_n$  kommt ein, und nur ein reeller Zahlwerth  $\lambda$ ,\* sein "Argument" zu, das ihn repräsentirt: jedem Doppelpuncte, z.B. A, zwei Argumente  $A_1 A_2$ . Trägt man diese in das Stellenschema von  $R_n$  ein, so geht es über in eine gewisse Folge von reellen Zahlwerthen.

Wir sagen, die Curve  $R_n$  besitze a unzerstörbare "Asymptoten," wenn a die Minimalzahl von reellen Schnittpuncten ist, welche  $R_n$  im Schnitte mit einer Geraden aufweisen kann.

Dann kann man sie nemlich stets in eine solche zweite Curve  $R'_n$  mit gleichem Stellenschema projiciren, so, dass  $R'_n$  nur a-mal durch's Unendliche geht.

Ist a ungerade, so ist das Stellenschema von  $R_n$  ein reducibles; ist aber a gerade, so substituiren wir das reducible Stellenschema der nach obiger Methode invertirten und variirten Curve.

In beiden Fällen setzen wir das Schema in der *reducirten* Form voraus. Treten K Knotenpuncte im reducirten Schema auf, so kann dasselbe in 4 K Formen (von denen auch verschiedene identisch sein können) gebracht werden. Denn es kann das Zeichen A succ. jedem Doppelpuncte beigelegt werden, und von jedem kann man in vier verschiedenen Richtungen längs der Curve fortgehen. Da diese 4 K Formen nur aeusserlich verschieden sein können, so setzen wir fest:

"Zwei  $R_n$  sollen zu demselben 'Stellentypus' gehören, wenn ihre reducirten Schemata demselben Systeme von 4 K Formen angehören."

Die Untersuchungen von H. Tait zeigen, dass die weit überwiegende Mehrzahl von Schemata nicht durch wirkliche ebene Knoten *realisirt* werden können. Entsprechendes gilt für die  $R_n$ : hier ist aber der Grund dieser Thatsache unmittelbar ersichtlich.

Denn zwischen den  $\frac{(n-1)(n-2)}{2}$  Argumentenpaaren der Doppel-

\* Ein solches "Argument"  $\lambda$  kann auch für jeden Punct eines *topologischen*, endlichen (oder auch unendlichen) Knotens construirt werden. Ist nemlich  $l$  die Länge der Curve,  $s$  der von einem festen Ausgangspunct längs ihrer gemessene Bogen, so spielt jede eindeutige, einfach-periodische Function von  $s$  (mit der Periode  $l$ ) genau die Rolle von  $\lambda$ . Einen unendlichen Knoten *invertirt* man zuvor in einen endlichen.

puncte einer  $R_n$  herrschen gewisse algebraische Relationen: *jede Folge der Argumentenpaare, die diesen Relationen genügt, ist realisierbar und umgekehrt.*

Neben dem Stellenschema hat H. Tait noch ein "Felderschema" aufgestellt. Durch eine geschlossene, endliche, ebene Curve wird die Ebene in eine Anzahl von *Feldern* eingetheilt, deren *Ecken* von den Knotenpunkten gebildet werden. Ueberschreitet man den Contour der Curve in einem einfachen Punkte, so gelangt man von einem *positiven* Feld in ein *negatives* u. umg.

Das "Felderschema" giebt an, wieviel Ecken jedem der positiven resp. negativen Felder zukommen. So z. B. für den "trefoil knot":—

$$\left\{ \begin{array}{l} 3, 3 \\ 2, 2, 2 \end{array} \right\}$$

Unter dem "Felderschema einer  $R_n$ " soll dasjenige der invertirten (aber nicht weiter variirten) Curve verstanden werden. Es tritt im Folgenden nur in zweiter Linie, und als Ergänzung auf. Wir gehen jetzt über zur speciellen Behandlung der einfachsten Fälle  $n = 4$  und 5.

#### § 2 Die Typen der $R_4$ .

Die  $R_4$  hat drei Doppelpuncte  $(\alpha_i, \beta_i)$  ( $i = 1, 2, 3$ ), Die 6 Argumente  $\alpha_i, \beta_i$  sind ganz willkürlich (cf. § 9). Man erhält 5 Typen (cf. die Schemata der Tabelle III und die Figuren, Blatt I.), die sich bereits bei H. Brill\* befinden. Jedem Stellenschema gehört nur ein Felderschema zu, und umgekehrt. Die reducirten Schemata der beiden Typen (4) und (5) mit zwei Asymptoten sind:—

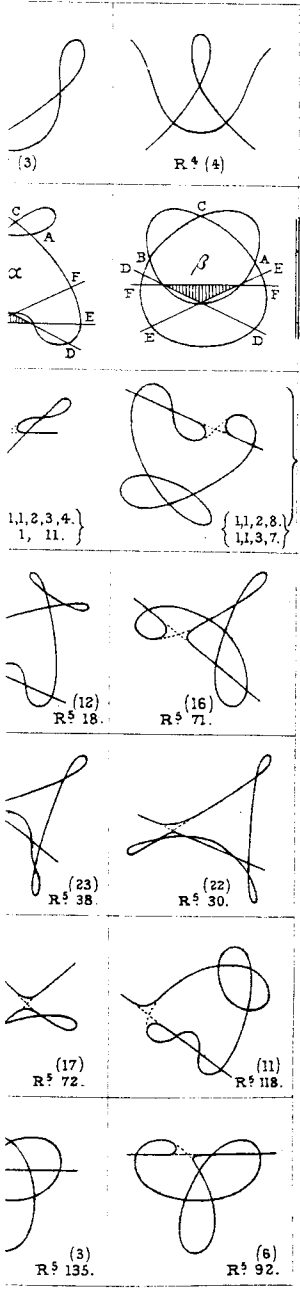
$$\begin{array}{l} (4) \quad A \quad D \quad B \quad C \\ (5) \quad C \quad D \quad A \quad B \end{array}$$

wo in (4) D den, die beiden unendlich fernen Punkte der Curve repräsentirenden, Doppelpunct angiebt, während dies in (5) jeder der 4 Buchstaben leistet. Umgekehrt zeigt man leicht, dass alle aus 4 Buchstaben herstellbaren reducirten Schemata (die auch Schleifen aufweisen können), wenn sie  $R_4$  darstellen sollen, nur zu (4) und (5) führen.

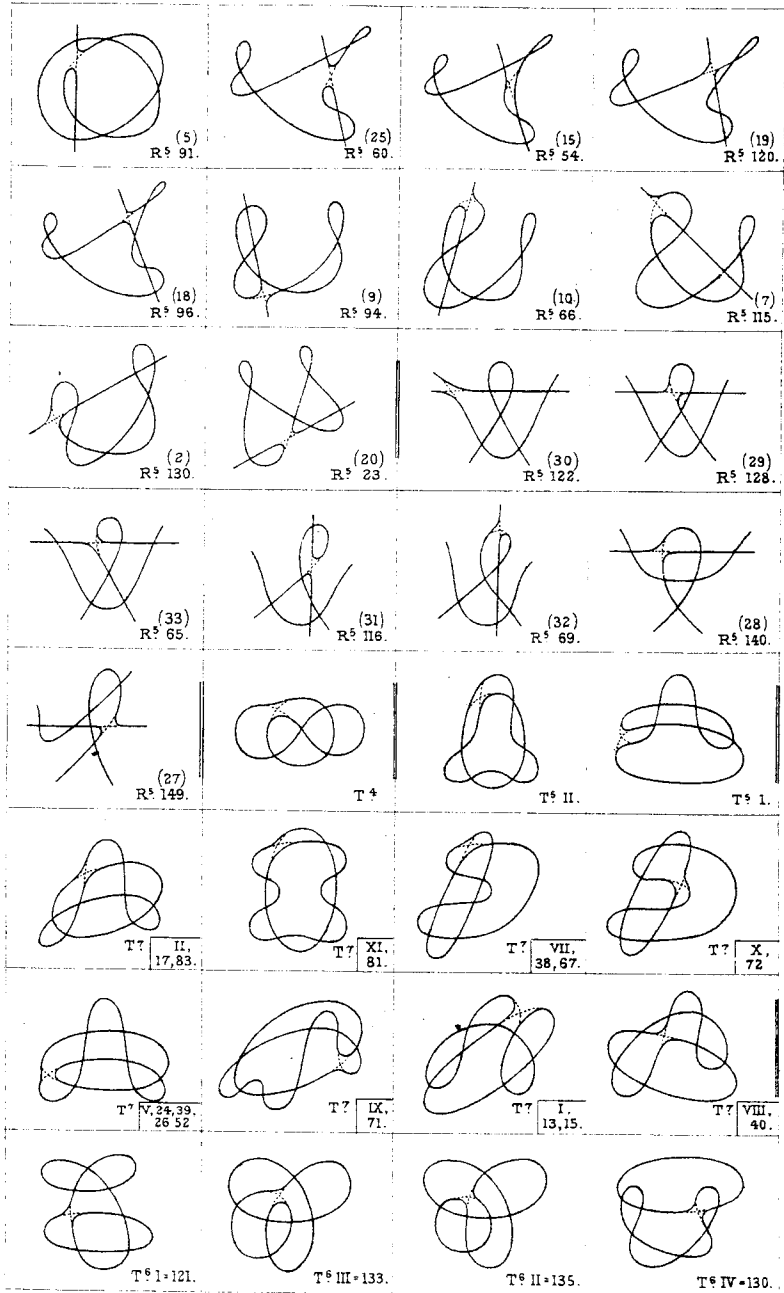
Für die Aufstellung der Typen der  $R_5$  (cf. § 3) ist es unbedingt erforderlich, sich von der Existenz und Lage der reellen Wendepuncte bei den  $R_4$  Rechenschaft zu geben.

\* *Mathem. Annalen*, von Klein & Mayer, XII.





F. Huth, Lith. Edin.



F. Meyer del.

F. Huth, Lith. Edin.



Nach der von H. Klein \* aufgestellten allgemeinen Formel besitzt die  $R_4$  entweder zwei reelle Wendepuncte, oder keinen (und dann eine isolirte Doppeltangente).

Mittelst der im zweiten Abschnitt entwickelten algebraischen Methoden lässt sich zeigen, in welchen Fällen zwei reelle Wendepuncte auftreten können, und auf welchen Zweigen der  $R_4$  sie sich dann befinden.

So z. B. kann der eine der beiden Wendepuncte im Typus (3) auf einer Schleife liegen, oder auf einem der übrigen (passend gewählten) Verbindungszweige.

*Dadurch wird es möglich ALLE Lagen einer Geraden, die vier reelle Schnittpuncte mit der  $R_4$  gemein haben soll, einer  $R_4$  gegenüber zu bestimmen d.h. man kann GENAU angeben, welche Zweige der  $R_4$ , und wie oft jeder einzelne, von einer Geraden getroffen werden können.*

Nur dadurch gelingt es, alle Typen der  $R_5$  mit Hilfe des (unten erörterten) Auflösungsprocesses aus den  $R_4$  herzuleiten.

### § 3. Die Typen der $R_5$ (cf. die Figuren auf Blatt I, II.).

Eine  $R_5$  hat eine oder drei Asymptoten. In beiden Fällen sind die Stellenschemata der sechs Doppelpuncte von vorn herein reducirte. Man hat daher alle reducirten Schemata für sechs Buchstaben aufzustellen, und nachzuweisen, welche von ihnen realisirbar, und welche es nicht sind. Das Letztere wird öfters eintreten, da (cf. § 9) zwischen den sechs Argumentenpaaren der Doppelpuncte drei Relationen herrschen.

Die Zahl der Schemata ohne Schleifen (cf. Tabelle II.) ist 80, wie auch H. Tait angiebt. Diese ziehen sich aber auf nur 9 wirklich verschiedene zusammen (die in der Tabelle durch einen Stern markirt sind). Von diesen sind 4 die Schemata der von H. Tait aufgestellten endlichen Curven, nemlich No. 121, 130, 133, 135. Diese führen zu  $R_5$  mit einer Asymptote, während aus vier weiteren, nemlich No. 122, 128, 140, 149  $R_5$  mit drei Asymptoten hervorgehen.

Nur ein einziges Schema No. 127 ist nicht realisirbar: dieses ist in der That nicht einmal als endliche Curve, die noch ausserdem einen dreifachen Punct besitzt, zu construiren.

Die Zahl der Schemata mit Schleifen beträgt in erster Aufstel-

\* *Mathematische Annalen* von Klein & Mayer, X. pg. 200.

lung  $5! = 120$  (cf. Tabelle I.), da man einer Schleife stets die Bezeichnung AA beilegen kann.

Diese ziehen sich auf 44 wirklich verschiedene zusammen. Von diesen sind 25\* realisierbar, davon 3 durch  $R_5$  mit drei Asymptoten. In der That sind die letzteren, No. 65, 69, 116 überhaupt nicht realisierbar durch endliche Knoten.

Kein realisierbares Schema (von den 33, die es thun) führt gleichzeitig zu einer  $R_5$  mit EINER und DREI Asymptoten.

(Dies gilt nicht mehr für  $R_n$ , wo  $n > 5$ ).

Die 33 Stellentypen der  $R_5$  besitzen auch 33 verschiedene Felderschemata (die in dieser kurzen Mittheilung unterdrückt sind). Umgekehrt aber kommt es häufig vor, dass einem einzigen Stellentypus mehrere Felderschemata zugehören.

So z. B. kann der Stellentypus No. 12 (26)† durch drei verschiedene Felderschemata repräsentirt werden (cf. Blatt II.).

#### § 4. Algebraische Darstellung topologischer Knoten.

Im Vorhergehenden haben wir algebraische Knoten auf topologische (endliche) Knoten zurückgeführt: jetzt soll das Umgekehrte geschehen. Wir können nemlich nach solchen endlichen algebraischen Knoten fragen, welche die gleiche Verschlingung aufweisen, wie ein gegebener topologischer (endlicher) Knoten. Diese Aufgabe ist für die (von H. Tait aufgestellten) Knoten mit 3, 4, 5, 6, 7 Knotenpunkten mit Hülfe des weiter unten geschilderten Auflösungsprocesses unschwer lösbar.

Und zwar sind jene Knoten (die mit  $T_3, T_4, T_5, T_6, T_7$  ‡ bezeichnet seien) sämtlich noch als endliche  $R_6$  (die  $T_3$  noch als  $R_4$ ) darstellbar, wobei natürlich die letzteren ausser dem reellen Curvenzug noch eine Anzahl isolirter resp. imaginärer Doppelpuncte besitzen. Die Figuren (auf Blatt II.) zeigen jene Knoten gerade in der Gestalt, wie sie aus einer, in eine  $R_4$  und einen Kegelschnitt  $R_2$  zerfallenden

\* Diese sind gleichfalls (in Tabelle I.) durch einen Stern ausgezeichnet.

† Die 33 Typen der  $R_5$  sind doppelt numerirt, einmal nach der Zahl, die sie in den Tabellen I. II. angiebt, sodann in Tabelle III. in natürlichen Reihenfolge, durch in Klammern eingeschlossene Zahlen. Von diesen Typen waren No. 23, 29, 60, 65 in meiner Dissertation noch nicht enthalten.

‡ Die  $T_3$  (das "trifolium") findet sich unter den  $R_4$  als (2): die  $T_5, T_6$  sind nach der Reihenfolge, in der sie bei H. Tait auftreten, mit römischen Indexziffern versehen: endlich sind die den  $T_7$  beigegebenen Ziffern genau die von H. Tait selbst gewählten.

Curve durch eine einf. Schnittpuncte von  $R_4$  u

Damit ist auch, wie jener Knoten durch alg

#### II. A

##### § 5. Beweis für Existenz

ra

Es erübrigt noch, für braischen Knoten, sowie formationsprocesses die

Die 5 Typen der  $R_4$  weiteren Existenzbeweigung ankommt); will genauere Rechenschaft

Ebene der  $R_4$  einer qu  $T_2$ , deren drei Fundam Dann geht die  $R_4$  um umgekehrt erhält man  $R_2$  z. B. einem Kreise

Gehen wir zu den zweierlei, einmal um andererseits um die 2 Stellenschemata (cf. §  $T_2$  ausführbar.

Nimmt man nemli puncten einer  $T_2$ , so diese drei Punkte ein jeden der 33 Typen der puncten einer  $T_2$  so (§ 6 weist nach, wie

Versucht man nun Schemata, so erweist z. B. zeigt die Figu

\* Diese ist z. B. ausfüll einfachsten wird sie in beiden Brennpuncten der Ecken des Dreiecks sin

er Schleife stets die Bezeich-

chiedene zusammen. Von  
ch  $R_5$  mit drei Asymptoten.  
, 69, 116 überhaupt nicht

n 33, die es thun) führt  
ei Asymptoten.

uch 33 verschiedene Felder-  
teilung unterdrückt sind).  
lass einem einzigen Stellen-

12 (26) † durch drei ver-  
den (cf. Blatt II).

ologischer Knoten.

raische Knoten auf topo-  
jetzt soll das Umgekehrte  
n solchen endlichen alge-  
leiche Verschlingung auf-  
endlicher) Knoten. Diese  
alten) Knoten mit 3, 4, 5,  
weiter unten geschilderten

$T_4, T_5, T_6, T_7$  † bezeichnet  
 $T_3$  noch als  $R_4$ ) darstellbar,  
ellen Curvenzug noch eine  
elpuncte besitzen. Die  
en gerade in der Gestalt,  
gelschnitt  $R_2$  zerfallenden

nen Stern ausgezeichnet.  
einmal nach der Zahl, die sie  
e III. in natürlichen Reihen-  
n. Von diesen Typen waren  
cht enthalten.

en  $R_4$  als (2): die  $T_5, T_6$  sind  
creten, mit römischen Index-  
ebenen Ziffern genau die von

Curve durch eine einfache *Variation* (bei der einer der reellen  
Schnittpuncte von  $R_1$  und  $R_2$  verschwindet) als  $R_6$  hervorgehen.

Damit ist auch, wie der zweite Abschnitt lehrt, eine Darstellung  
jener Knoten durch algebraische Gleichungen ermöglicht.

## II. ALGEBRAISCHE HÜLFSMITTEL.

### § 5. Beweis für Existenz der Typen der $R_4$ und $R_5$ mittelst quad- ratischer Transformation.

Es erübrigt noch, für die Richtigkeit der in I aufgestellten alge-  
braischen Knoten, sowie des in den Figuren vorgenommenen De-  
formationsprocesses die strengen algebraischen Beweise nachzuholen.

Die 5 Typen der  $R_4$  bedürfen, wie schon in § 2 bemerkt, keines  
weiteren Existenzbeweises (soweit es nur auf ihre Verschling-  
ung ankommt); will man sich jedoch von ihrer Entstehung  
genauere Rechenschaft geben, so unterwerfe man die Puncte in der  
Ebene der  $R_4$  einer quadratischen, involutorischen Verwandtschaft\*  
 $T_2$ , deren drei Fundamentalpuncte in die Doppelpuncte der  $R_4$  fallen.  
Dann geht die  $R_4$  über in eine  $R_2$ , d.h. einen Kegelschnitt, und  
umgekehrt erhält man vermöge passender  $T_2$  aus einer beliebigen  
 $R_2$  z. B. einem Kreise, ohne Weiteres alle Typen der  $R_4$ .

Gehen wir zu den Typen der  $R_5$  über, so handelt es sich um  
zweierlei, einmal um die Existenz der aufgestellten 33 Typen,  
andererseits um die Nichtrealisirbarkeit der 20 noch verbleibenden  
Stellenschemata (cf. § 3). Beides ist mittelst der Transformationen  
 $T_2$  ausführbar.

Nimmt man nemlich drei Doppelpuncte der  $R_5$  zu Fundamen-  
talphuncten einer  $T_2$ , so transformirt sich die  $R_5$  in eine  $R_4$ , von der  
diese drei Puncte einfache Puncte sind. Umgekehrt lassen sich für  
jeden der 33 Typen der  $R_5$   $R_4$  mit drei auf ihr gelegenen Fundamen-  
talphuncten einer  $T_2$  so wählen dass die  $R_4$  in die verlangte  $R_5$  übergeht.  
(§ 6 weist nach, wie dies am einfachsten ausführbar ist.)

Versucht man nunmehr dasselbe Verfahren für die 20 restirenden  
Schemata, so erweist sich jedesmal die Ausführung als unmöglich. So  
z. B. zeigt die Figur der  $R_4$  mit dem Schema: ABE (Blatt II.)

\* Diese ist z. B. ausführlich behandelt in Salmon's *Higher plane curves*. Am  
einfachsten wird sie repräsentirt durch die Verwandtschaft zwischen den  
beiden Brennpuncten der einem Dreiecke einbeschriebenen Kegelschnitte. Die  
Ecken des Dreiecks sind die Fundamentalpuncte der Verwandtschaft.

unmittelbar, wie eine  $T_2$  gar nicht existiren kann, die die  $R_4$  in die  $R_5$  mit dem Schema: A B F C E D (No(20)) überführe. Die entsprechende Durchführung für die 19 weiteren Schemata unterbleibe hier: sie stützt sich auf die genaue (in § 3 erörterte) Kenntniss aller möglichen Lagen einer Geraden zu einer  $R_4$ .

Die Methode dieses § genügt so zwar völlig dem Zwecke der Auffindung aller Typen der  $R_5$ : behufs einer wirklichen Anschauung derselben ist sie indessen viel zu zeitraubend. Wir bedienen uns daher eines andern Processes, der auch sonst in der Lehre von den Gestalten algebraischer Curven eine Rolle spielt, nemlich des stetigen Ueberganges zerfallender Curven in nicht-zerfallende, oder des sog. "Auflösungsprocesses."

§ 6. Der Auflösungsprocess mit Hilfe quadratischer Transformationen.

Sei wieder das Fundamentaldreieck einer  $T_2$  einer  $R_4$  eingeschrieben. A sei einer der Eckpunkte, a die gegenüberliegende Seite, die noch die reellen Punkte  $A_1, A_2$  aus der  $R_4$  ausschneide.

Jetzt bewege sich A auf der  $R_4$ , bis er mit einem Doppelpunkte der  $R_4$  zusammenfällt. In diesem Augenblick zerfällt die (sich mit A bewegend)  $R_5$  in eine  $R'_4$  und die Gerade a.

Verlassen wir umgekehrt den Doppelpunct, indem der Punct A längs eines der vier vom Doppelpuncte auslaufenden Zweige fortschreitet, so vereinigt sich die  $R'_4$  mit der Geraden a zu einer  $R_5$ , und zwar "löst sich," jenen vier Richtungen entsprechend, entweder der Punct  $A_1$ , oder der Punct  $A_2$ , je in einem der beiden \* möglichen Sinne, "auf."

Soll sich daher eine gegebene  $R_4$  mit einer Geraden  $R_1$  so zu einer  $R_5$  vereinigen, dass sich ein bestimmter der vier reellen Schnittpunkte von  $R_4$  und  $R_1$  auflöst, so verfähre man, wie folgt:

"Man nehme zwei der weiteren Schnittpunkte von  $R_4$  und  $R_1$  nebst einem Doppelpuncte A der  $R_4$  zu Fundamentalpunkten einer  $T_2$ . Vermöge der  $T_2$  geht die  $R_4$  über in eine  $R'_4$  mit Doppelpunct in A. Variirt man nunmehr die  $T_2$  dadurch in eine  $T'_2$ , dass an die Stelle des Fundamentalpunctes A ein in passender Richtung auf  $R'_4$  benachbarter Punct A' tritt, so verwandelt sich die  $R'_4$  vermöge  $T'_2$  in eine  $R_5$ , die die vorgegebenen Redingungen erfüllt."

\* Diese beiden Sinne der Auflösung erhellen unmittelbar aus der Anschauung einer, aus einem Geradenpaar hervorgehenden Hyperbel.

Auf diese Weise haben sämmtlich ergeben: in der  $R_4$  und  $R_1$  PUNCTIRT.

Man hätte den Punct  $R'_4$  vorwärts bewegen lassen, bis die entstehenden  $R_5$  ihre Vertheilung heraus, wie sich der in § 5 beschriebene  $R_5$  in mannigfaltigster Weise zeigt.

Es kann sich freilich eintreten, dass I. lehrt, von den drei Fundamentaldreiecken  $R_4$  in die Lage eines Doppelpunctes zu kommen, inwischen die  $R_5$  ihren Typen ändern,  $\beta$  ebenda, wie man diesen Typen ändern lässt.

Ganz ebenso lassen sich die  $R_3$  gewinnen: dies geschieht durch den einfachsten Weg, um die  $R_3$  von beiden reellen Wendepunkten zu erhalten.

§ 7. Der Auflösungsprocess

Der im vorigen § vorgeschriebene Auflösungsprocess  $R_n$  und  $R_1$  hört auf, anzuwenden, daher noch ein anderes Verfahren (auch räumliche)  $R_n$  braucht.

Man kann nemlich eine  $R_n$  als Projection einer ratio  $C_{n+1}$  von einem ihrer Punkte P auf eine Gerade  $R_1$  betrachten.

In der That, wenn die

$$(1) x_1 : x_2 : x_3 : x_4 = \lambda$$

wo die  $x$  Punctcoordinate von  $\lambda$  bedeuten, so liefert die Gleichung  $C_{n+1} = 0$ , das Gleichungssystem

$$(2) x_1 : x_2 : x_3 : x_4 = f_1(\lambda)$$

immer eine  $C_{n+1}$  von der Projection  $P$  auf die Gerade  $R_1$  benachbarter, nicht auf  $R_1$  selbst, jetzt die  $C_{n+1}$  von  $P'$  aus

existiren kann, die die  $R_4$  in  
(No(20)) überführe. Die  
9 weiteren Schemata unter-  
(in § 3 erörterte) Kenntniss  
einer  $R_4$ .  
var völlig dem Zwecke der  
iner wirklichen Anschauung  
übend. Wir bedienen uns  
sonst in der Lehre von den  
spielt, nemlich des *stetigen*  
*Weg-zerfallende*, oder des sog.

*Weg quadratischer Trans-*

einer  $T_2$  einer  $R_4$  einbe-  
a die gegenüberliegende  
aus der  $R_4$  ausschneide.  
r mit einem Doppelpuncte  
enblick zerfällt die (sich  
Gerade a.  
punct, indem der Punct A  
auslaufenden Zweige fort-  
der Geraden a zu einer  $R_5$ ,  
ungen entsprechend, ent-  
e in einem der beiden \*

er Geraden  $R_1$  so zu einer  
vier reellen Schnittpuncte  
ie folgt:  
puncte von  $R_4$  und  $R_1$  nebst  
mentalpuncten einer  $T_2$ .  
 $R_4$  mit Doppelpunct in A.  
ne  $T_2$ , dass an die Stelle  
nder Richtung auf  $R'_4$   
sich die  $R'_4$  vermöge  $T'_2$   
ren erfüllt."

mittelbar aus der Anschauung  
erbel.

Auf diese Weise haben sich die Figuren für die Typen der  $R_5$   
sämmlich ergeben: in der Nähe des aufgelösten Punctes sind die  
 $R_4$  und  $R_1$  PUNCTIRT.

Man hätte den Punct A' noch um eine *endliche* Strecke auf der  
 $R'_4$  vorwärts bewegen können, ohne dass die successive so  
entstehenden  $R_5$  ihre Verschlingung geändert hätten. Man ersieht  
daraus, wie sich der in § 5 geschilderte Uebergang einer  $R_4$  in eine  
 $R_5$  in mannigfaltigster Weise bewerkstelligen lässt.

Es kann sich freilich ereignen, dass, wie z. B. Figur  $\alpha$  auf Blatt  
I. lehrt, von den drei Fundamentalpuncten der  $T_2$  keiner längs der  
 $R_4$  in die Lage eines Doppelpunctes rücken kann, ohne dass nicht  
inzwischen die  $R_5$  ihren Typus gewechselt hätte. Dagegen zeigt Figur  
 $\beta$  ebenda, wie man diesen Missstand (stets) vermeiden kann.

Ganz ebenso lassen sich die Typen der  $R_4$  durch Auflösung aus  
der  $R_3$  gewinnen: dies erweist sich zugleich thatsächlich als  
der einfachste Weg, um über die in § 2 besprochenen Lagen der  
beiden reellen Wendepuncte Aufschluss zu erhalten.

§ 7. Der Auflösungsprocess mit Hilfe der Projection.

Der im vorigen § vorgenommene Process der Auflösung einer  
 $R_n$  und  $R_1$  hört auf, anwendbar zu sein, sobald  $n > 4$ . Wir theilen  
daher noch ein anderes Verfahren mit, das allgemein für ebene  
(auch räumliche)  $R_n$  brauchbar ist.

Man kann nemlich eine *gegebene*  $R_n$  auf die mannigfaltigste Art  
als Projection einer rationalen Raumcurve  $C_{n+1}$  ( $n + 1^{\text{er}}$  Ordnung)  
von einem ihrer Puncte P aus, erscheinen lassen.

In der That, wenn die  $R_n$  dargestellt ist durch die Gleichungen,

$$(1) x_1 : x_2 : x_3 = f_1(\lambda) : f_2(\lambda) : f_3(\lambda),$$

wo die  $x$  Puncteordinaten, und die  $f$  ganze Functionen  $n^{\text{ten}}$  Grades  
von  $\lambda$  bedeuten, so liefert, wenn  $\phi(\lambda)$  eine ebensolche Function vom  
Grade  $n + 1$  ist, das Gleichungssystem (bei beliebigem, reellem  $a$ ):

$$(2) x_1 : x_2 : x_3 : x_4 = f_1(\lambda)(\lambda - a) : f_2(\lambda)(\lambda - a) : f_3(\lambda)(\lambda - a) : \phi(\lambda),$$

immer eine  $C_{n+1}$  von der gewünschten Art. Dabei ist P der Raum-  
punct  $x_1 = 0, x_2 = 0, x_3 = 0$ . Ist  $t$  die Tangente in P, und P' ein, zu  
P benachbarter, *nicht* auf  $C_{n+1}$  gelegener Punct, und projectirt man  
jetzt die  $C_{n+1}$  von P' aus auf die Ebene  $x_4 = 0$  d. i. die Ebene der  $R_n$ ,

so gelangt man zu einer  $R_{n+1}$ , die durch Auflösung des Punctes  $\lambda = a$  aus der  $R_n$  und derjenigen Geraden hervorgeht, welche von der durch  $t$  und  $P'$  gelegten Ebene aus der Ebene der  $R_n$  ausgeschnitten wird.

Dies ist geometrisch evident. Daraus folgt umgekehrt die Regel: "Soll eine  $R_n$  und eine  $R_1$  durch Auflösung eines ihrer reellen Schnittpuncte  $A$  continuirlich in eine  $R_{n+1}$  übergehen, so fasse man die  $R_n$  auf als Projection einer räumlichen  $C_{n+1}$ , von einem ihrer Puncte,  $P$ , aus. Deren Tangente  $t$  in  $P$  geht nothwendig durch  $A$ . Ist dann  $Q$  ein beliebiger Punct auf  $R_1$ , und schreitet man von  $P$  aus in einer der beiden Richtungen  $PQ$  um ein beliebig kleines Stück zu einem Puncte  $P'$ , so ist die Projection der  $C_{n+1}$  von  $P'$  aus eine  $R_{n+1}$  der gewünschten Art, die zudem noch die Gerade  $R_1$  im Puncte  $Q$  berührt."

Wir unterlassen die genauere algebraische Verfolgung dieses Projectionsprocesses, und gehen sogleich über zu der in § 4 benützten Vereinigung einer  $R_n$  und  $R_2$  zu einer  $R_{n+2}$ , wiederum mittelst Auflösung einer ihrer reellen Schnittpuncte.

#### § 8. Die Deformation einer $R_n + R_2$ in eine $R_{n+2}$ .

A sei der reelle Schnittpunct beider Curven, in dem die Auflösung vor sich gehen soll. Wir greifen noch drei weitere reelle \* Schnittpuncte der  $R_n$  und  $R_2$  heraus,  $A_1, A_2, A_3$ . Dann geht vermöge einer quadratischen Transformation  $T_2$  mit den Fundamentalpuncten  $A_1, A_2, A_3$ , die  $R_n$  über in eine  $R_{2n-3}$  mit  $(n-2)$  fachen Puncten in  $A_1, A_2, A_3$ ; die  $R_2$  dagegen in eine durch den Punct  $A$  laufende  $R_1$ .

Löst man jetzt nach der Regel des § 7 den Punct  $A$  auf, so dass aus dem Aggregat  $R_{2n-3}$  &  $R_1$  eine  $R_{2n-2}$  hervorgeht, so besitzt diese gleichfalls drei  $(n-2)$  fache Puncte in der Nähe der früheren, wir wollen sagen, in  $A'_1, A'_2, A'_3$ .

Dann verwandelt sich vermöge einer neuen Transformation  $T'_2$  mit den Fundamentalpuncten in  $A'_1, A'_2, A'_3$  die  $R_{2n-2}$  in eine eigentliche  $R_{n+2}$ , die, wie verlangt wurde, der  $R_n + R_2$  benachbart ist.

Wir bemerken am Schlusse dieser Betrachtungen nur noch kurz, dass man ganz allgemein algebraische Prozesse angeben kann, die das Aggregat aus einer  $R_n$  und  $R_n$  continuirlich in eine  $R_{n+n}$  überführen, sobald nur einer der Schnittpuncte von  $R_n$  und  $R_n$  reell ist. †

\* Von diesen könnten auch zwei conjugirt imaginär sein.

† Dabei zeigt sich vor Allem—and dies gilt natürlich im Besondern von

Um aber den Character dieser algebraischen zu wahren, sei es  $n$  die in § 3 erwähnten Relator argumenten einer  $R_5$  zu werfen.

#### § 9. Die Relationen zwischen den

Wir bezeichnen die zwölf Argun. Wie in § 6, führen wir die  $R_5$  mit den Fundamentalpuncten  $i$  über in eine  $R_4$ , die darstellbar ist

$$(1) \rho y_i = (\lambda - \alpha_k)(\lambda - \beta_k)(\lambda -$$

wo  $\rho$  ein Proportionalitätsfactoren der Coordinaten sind

Die drei  $(\alpha_i, \beta_i)$  repraesentiren  $R_4$  die allein der Forderung zu eines, der  $R_4$  einbeschriebenen gesuchten Relationen ist demn:

Seien  $\alpha_k, \alpha_l, a$ , die Argun so hängen  $\alpha_k, \alpha_l, a$  von der  $q_i$

$$(2) G_i = \frac{1}{(\lambda - \alpha_i)(\lambda - \beta_i)(\alpha_i -$$

wo die beiden verticalen  $S_i$  bedeuten. Ist  $R_{ik}$  die Resultate der aufgestellten Bedingungen erl

$$(3) R_{ik}$$

Es ist aber leicht nachzuweisen, dass fremden Factor enthalten.

$$(4)$$

wo  $\Delta = 0$  gesetzt, bedeutet erhält. Unsere gesuchten einfachsten Form:—

den im Texte benützten Deformation deutlich übersieht welche vor Curve in die eigentliche *neu au*

ch Auflösung des Punctes  $\lambda = a$  vorgeht, welche von der durch  $R_n$  ausgeschnitten wird. Es folgt umgekehrt die Regel: Auflösung eines ihrer reellen  $R_{n+1}$  übergehen, so fasse man  $C_{n+1}$ , von einem ihrer  $R_{n+1}$  geht nothwendig durch A. und schreitet man von P  $Q$  um ein beliebig kleines  $Q$  um ein beliebig kleines  $Q$  Projection der  $C_{n+1}$  von  $P'$   $R_{n+2}$ , zudem noch die Gerade

Die Verfolgung dieses Pro-  
cesses zu der in § 4 benützten  
 $R_{n+2}$ , wiederum mittelst

$R_2$  in eine  $R_{n+2}$ .

en, in dem die Auflösung  
weitere reelle \* Schnitt-  
Dann geht vermöge einer  
n Fundamentalpuncten  
- 2) fachen Puncten in  
n Punct A laufende  $R_1$ .  
n Punct A auf, so dass  
angeht, so besitzt diese  
Nähe der früheren, wir

en Transformation  $T'_2$   
die  $R_{2n-2}$  in eine eigent-  
lich benachbart ist.

ingen nur noch kurz,  
se angeben kann, die  
h in eine  $R_{n+1}$  über-  
 $R$  und  $R_n$  reell ist. †

ein.  
ich in Besondern von

Um aber den Character dieser Mittheilung als einer topologisch algebraischen zu wahren, sei es nur noch gestattet, einen Blick auf die in § 3 erwähnten Relationen zwischen den Doppelpunctsargumenten einer  $R_5$  zu werfen.

§ 9. Die Relationen zwischen den Doppelpunctsargumenten einer  $R_5$ .

Wir bezeichnen die zwölf Argumente mit  $(\alpha_i, \beta_i), (\alpha'_i, \beta'_i)$  ( $i = 1, 2, 3$ ). Wie in § 6, führen wir die  $R_5$  vermöge einer Transformation  $T_2$ , mit den Fundamentalpuncten in den drei ersten Doppelpuncten, über in eine  $R_4$ , die darstellbar sein muss durch die Gleichungen:

$$(1) \rho y_i = (\lambda - \alpha_k)(\lambda - \beta_k)(\lambda - \alpha'_l)(\lambda - \beta'_l) = f_i(\lambda) \quad (i, k, l = 1, 2, 3),$$

wo  $\rho$  ein Proportionalitätsfactor, und die  $y_i$  lineare homogene Functionen der Coordinaten sind.

Die drei  $(\alpha_i, \beta_i)$  repräsentiren jetzt irgend drei Punctepaare der  $R_4$  die allein der Forderung zu genügen haben, auf den Seiten irgend eines, der  $R_4$  eingeschriebenen Dreiecks zu liegen. Die Anzahl der gesuchten Relationen ist demnach drei.

Seien  $\alpha_i, \alpha_k, \alpha_l$  die Argumente der Eckpuncte des Dreiecks, so hängen  $\alpha_i, \alpha_k, \alpha_l$  ab von der quadratischen Gleichung:

$$(2) G_i = \frac{1}{(\lambda - \alpha_i)(\lambda - \beta_i)(\alpha_i - \beta_i)} \left| \begin{array}{c} f(\lambda), f(\alpha_i), f(\beta_i) \end{array} \right| = 0 \quad (i = 1, 2, 3),$$

wo die beiden verticalen Striche eine dreireihige Determinante bedeuten. Ist  $R_{ik}$  die Resultante von  $G_i$  und  $G_k$ , so sind die oben aufgestellten Bedingungen erfüllt durch die drei Gleichungen:

$$(3) R_{ik} = 0 \quad (i, k = 1, 2, 3).$$

Es ist aber leicht nachweisbar, dass die  $R_{ik}$  noch einen, der Frage fremden Factor enthalten. So ergibt sich:

$$(4) R_{ik} = \Delta R'_{ik},$$

wo  $\Delta = 0$  gesetzt, bedeutet, dass die  $R_4$  einen dreifachen Punct erhält. Unsere gesuchten drei Relationen lauten daher in der einfachsten Form:—

$$(5) R'_{ik} = 0.$$

den im Texte benützten Deformationen der  $R_3 + R_1$ , und  $R_4 + R_1$ —dass man deutlich übersieht welche von den beim Uebergang von den zerfallenden Curve in die eigentliche neu auftretenden Singularitäten reell sind.

I. Tafel\* der 120 Stellenschemata für 6 Doppelpunkte,  
incl. Schleifen.

(1) BCDEF	(41)* CEFBD	(22) = (81) ECDBF
(2) BCDFE	(29) = (42) CEFDB	(12) = (82) ECDFB
(2) = (3) BCEDF	(41) = (43) CFBDE	(68) = (83) ECFBD
(4) BCEFD	(44)* CFBED	(54) = (84) ECFDB
(5) BCFDE	(38) = (45) CFDBE	(23) = (85) EDBC F
(6) BCFED	(12) = (46) CFDEB	(44) = (86) EDBFC
(2) = (7) BDCEF	(44) = (47) CFEBD	(24) = (87) EDCBF
(8) BDCFE	(30) = (48) CFEDB	(30) = (88) EDCFB
(4) = (9) BDECF	(5) = (49) DBCEF	(71) = (89) EDFBC
(4) = (10) BDFEC	(29) = (50) DBCFE	(72) = (90) EDFCB
(11) BDFCE	(11) = (51) DBECF	(91)* EFBCD
(12)* BDFEC	(11) = (52) DBEFC	(92)* EFBCD
(5) = (13) BECDF	(53) DBFCE	(92) = (93) EFCBD
(11) = (14) BECFD	(54)* DBFEC	(94)* EFCDB
(6) = (15) BEDCF	(6) = (55) DCBEF	(95) EFDBC
(12) = (16) BEDFC	(30) = (56) DCBFE	(96)* EFDCE
(17) BEFCD	(12) = (57) DCEBF	(97) FBCDE
(18)* BEFDC	(8) = (58) DCEFB	(98) FBCED
(19) BFCDE	(54) = (59) DCFBE	(99) FBDCE
(20) BFCED	(60)* DCFEB	(20) = (100) FBDEC
(20) = (21) BFDCE	(17) = (61) DEBCF	(71) = (101) FBECD
(22) BFDEC	(41) = (62) DEBFC	(72) = (102) FBEDC
(23)* BFECD	(18) = (63) DEC BF	(98) = (103) FCBDE
(24)* BFEDC	(29) = (64) DEC FB	(104) FCBED
(2) = (25) CBDEF	(65)* DEFBC	(20) = (105) FCDBE
(26) CBDFE	(66)* DEFBC	(6) = (106) FCDEB
(8) = (27) CBEDF	(67)* DF BCE	(44) = (107) FCEBD
(12) = (28) CBEFD	(68) DF BEC	(30) = (108) FCEDB
(29)* CBFDE	(69)* DF CBE	(71) = (109) FDBCE
(30)* CBFED	(54) = (70) DFCEB	(44) = (110) FDBEC
(4) = (31) CDBEF	(71)* DF EBC	(72) = (111) FDCBE
(12) = (32) CDBFE	(72)* DF ECB	(30) = (112) FDCEB
(4) = (33) CDEBF	(19) = (73) EBCDF	(23) = (113) FDEBC
(2) = (34) CDEFB	(41) = (74) EBCFD	(24) = (114) FDECB
(11) = (35) CDFBE	(20) = (75) EBD CF	(115)* FEBCD
(8) = (36) CDFEB	(38) = (76) EBD FC	(116)* FEBDC
(11) = (37) CEBDF	(67) = (77) EBFCD	(116) = (117) FECBD
(38)* CEBFD	(69) = (78) EBFDC	(118)* FECDB
(12) = (39) CEDBF	(20) = (79) ECBDF	(96) = (119) FEDBC
(26) = (40) CEDFB	(44) = (80) ECBFD	(120)* FEDCB

\* Aus Raumersparniss ist bei diesen 120 Schemata überall der erste Buchstabe A fortgelassen. Im Uebrigen vgl. § 3.

Im Texte sind die 200 Schemata in Tafel I. und II. ohne Klammern citirt, zum Unterschiede von der Klammerbezeichnung der Tafel III.

II. Tafel der 80 Stellenschemata  
excl.

(121)* CABFDE
(122)* CAEFBD
(121) = (123) CAEFDB
(122) = (124) CAFBDE
(122) = (125) CDAFBE
(121) = (126) CDBFAE
(127) CDEFAB
(128)* CDFABE
(122) = (129) CDFBAE
(130)* CEAFBD
(122) = (131) CEAFDB
(122) = (132) CEFBAD
(133)* CEFABD
(128) = (134) CEFADB
(135)* CEFBAD
(128) = (136) CFABDE
(122) = (137) CFBAD E
(135) = (138) CFEABD
(122) = (139) CFEADB
(140)* CFEBAD
(122) = (141) DABFCE
(128) = (142) DAEFBC
(122) = (143) DAEFCB
(135) = (144) DAFBCE
(140) = (145) DAFCBE
(133) = (146) DEAFBC
(135) = (147) DEAFCB
(128) = (148) DEBFAC
(149)* DEFABC
(133) = (150) DEFACB
(133) = (151) DEFBCA
(128) = (152) DEFBCA
(133) = (153) DFABCE
(135) = (154) DFACBE
(130) = (155) DFBACE
(122) = (156) DFBCAE
(133) = (157) DFEABC
(130) = (158) DFEACB
(135) = (159) DFEBAC
(122) = (160) DFECAB



für 6 Doppelpuncte,

II. Tafel der 80 Stellenschemata für 6 Doppelpuncte,  
excl. Schleifen.

(22) = (81) ECDBF	(121)* CABFDE	(128) = (161) EABFCD
(12) = (82) ECDFB	(122)* CAEFBD	(122) = (162) EABFDC
(68) = (83) ECFBD	(121) = (123) CAEFDB	(133) = (163) EAFBCD
(54) = (84) ECFDB	(122) = (124) CAFBDE	(130) = (164) EAFBDC
(23) = (85) EDBCF	(122) = (125) CDAFBE	(135) = (165) EAFBCD
(44) = (86) EDBFC	(121) = (126) CDBFAE	(122) = (166) EAFDCB
(24) = (87) EDCBF	(127) CDEFAB	(135) = (167) EDAFBC
(30) = (88) EDCFB	(128)* CDFABE	(140) = (168) EDAFCB
(71) = (89) EDFBC	(122) = (129) CDFBAE	(122) = (169) EDBFAC
(72) = (90) EDFCB	(130)* CEAFBD	(133) = (170) EDFABC
(91)* EFBCD	(122) = (131) CEAFDB	(135) = (171) EDFACB
(92)* EFBDC	(122) = (132) CEBFAD	(130) = (172) EDFBAC
(92) = (93) EFCBD	(133)* CEFABD	(122) = (173) EDFCAB
(94)* EFCDB	(128) = (134) CEFADB	(149) = (174) EFABCD
(95) EFDBC	(135)* CEFBAD	(133) = (175) EFABDC
(96)* EFDCE	(128) = (136) CFABDE	(133) = (176) EFACBD
(97) FBCDE	(122) = (137) CFBADE	(128) = (177) EFACDB
(98) FBCED	(135) = (138) CFEABD	(133) = (178) EFBACD
(99) FBDCB	(122) = (139) CFEADB	(135) = (179) EFBADC
(20) = (100) FBDEC	(140)* CFEBAD	(128) = (180) EFBCAD
(71) = (101) FBECD	(122) = (141) DABFCE	(127) = (181) FABCDE
(72) = (102) FBEDC	(128) = (142) DAEFBC	(128) = (182) FAEBDC
(98) = (103) FCBDE	(122) = (143) DAEFCB	(122) = (183) FAECBD
(104) FCBED	(135) = (144) DAFBCE	(122) = (184) FAECDB
(20) = (105) FCDBE	(140) = (145) DAFBCE	(121) = (185) FAECDB
(6) = (106) FCDEB	(133) = (146) DEAFBC	(128) = (186) FDABCE
(44) = (107) FCEBD	(135) = (147) DEAFBC	(122) = (187) FDACBE
(30) = (108) FCEDB	(128) = (148) DEBFAC	(122) = (188) FDBACE
(71) = (109) FDBCE	(149)* DEFABC	(121) = (189) FDBCAB
(44) = (110) FDBEC	(133) = (150) DEFACB	(128) = (190) FDEABC
(72) = (111) FDCBE	(133) = (151) DEFBCA	(122) = (191) FDEACB
(30) = (112) FDCFB	(128) = (152) DEFBCA	(122) = (192) FDEBAC
(23) = (113) FDEBC	(133) = (153) DFABCE	(121) = (193) FDECAB
(24) = (114) FDECB	(135) = (154) DFACBE	(133) = (194) FEABCD
(115)* FEBCD	(130) = (155) DFBCAE	(135) = (195) FEABDC
(116)* FEBDC	(122) = (156) DFBCAE	(130) = (196) FEACBD
(116) = (117) FECBD	(133) = (157) DFEABC	(122) = (197) FEACDB
(118)* FECDB	(130) = (158) DFEACB	(135) = (198) FEBACD
(96) = (119) FEDBC	(135) = (159) DFEBAC	(140) = (199) FEBADC
(120)* FEDCB	(122) = (160) DFECAB	(122) = (200) FEBCAD

perall der erste Buchstabe

ohne Klammern citirt,  
Tafel III.

III. Haupt-Tafel für die Stellenschemata der  $R_4$  und  $R_5$ .I. 5 SCHEMATA DER  $R_4$ :

(a) mit keiner Asymptote.

- AABBCC (1)  
ACBACB (2)  
AABCCB (3)

(b) mit zwei Asymptoten.

- AABCBC (4)  
ABCACB (5)

II. 33 SCHEMATA\* DER  $R_5$ .

(a) 26 mit einer Asymptote.

- Keine Schleife.  
133. CEFABD (1)  
130. CEFABD (2)  
135. CEFBAD (3)  
121. CABFDE (4)

- Eine Schleife.  
91. AEFBCD (5)  
92. AEFBDC (6)  
115. AFEBDC (7)  
67. ADFBCE (8)  
94. AEFDCB (9)  
66. ADEFBC (10)  
118. AFECDB (11)

- Vier Schleifen.  
12. ABDFEC (26)

- Zwei Schleifen.  
18. ABEFDC (12)  
29. ACBFDE (13)  
41. ACEFBD (14)  
54. ADBFEC (15)  
71. ADFEBC (16)  
72. ADFECB (17)  
96. AEFDCB (18)  
120. AFEDCB (19)

- Drei Schleifen.  
23. ABFECD (20)  
24. ABFEDC (21)  
30. ACBFED (22)  
38. ACEBFD (23)  
44. ACFBED (24)  
60. ADCFEB (25)

(b) 7 mit drei Asymptoten.

- Keine Schleife.  
149. DEFABC (27)  
140. CFEBAD (28)  
128. CDFABE (29)  
122. CAEFBD (30)

- Eine Schleife.  
116. AFECBD (31)  
69. ADCFBE (32)  
65. ADEFBC (33)

\* Diese sind sämtlich in "reducirter" Form angegeben (cf. § 1), wie auch diejenigen in Tafel I. & II.

3. On Amagat

B

4. On the Electrical

F

5. Electro-Chemical

By Thomas Ar

Works, near S'

*Electro-Chemical E*  
present communicati

electrical reactions at

The interchanges

as platinum and c

noticed by the aut

the metals of varied

same fusing salt.

A number of re

A salt was main

faction in a large

platinum wires

piece, were imm

were connected

and constants.

no current was

portion of  
powerful